

“Measurement of Branching Fractions as well as Isospin and CP Asymmetries in $B \rightarrow K^*\gamma$ Decays at the Belle Experiment”

『Belle 実験における $B \rightarrow K^*\gamma$ 崩壊を用いた崩壊分岐比及びアイソスピン、 CP 非対称性の測定』

**素粒子実験研究室
堀口朋裕
(2017/1/26 公聴会)**

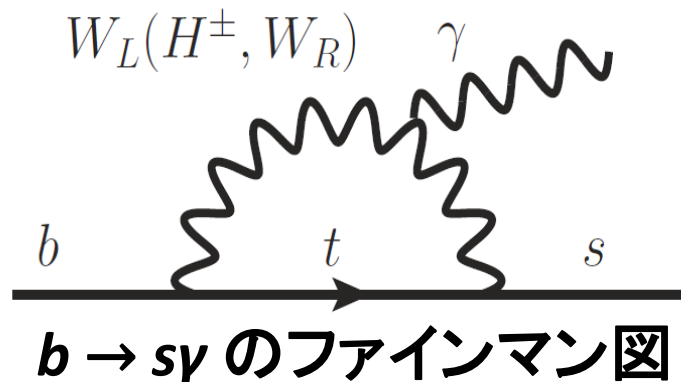
Radiative Penguin Decay

新物理探索の現状

LHC 13 TeV の運転で兆候なし。 $O(1)$ TeVより高い領域に期待
 ⇒ 間接測定による探索が重要

● $b \rightarrow s\gamma$ 遷移

- 標準模型ではツリーレベルの崩壊は禁止。
最低1ループの崩壊(FCNC: Flavor Changing Neutral Current)
- ループ中に新物理の寄与がある場合、 CP 非対称性などの観測量が標準模型の予言からズレる ⇒ 新物理に感度
- 理論的に高精度の予言が可能なので新物理探索に有用



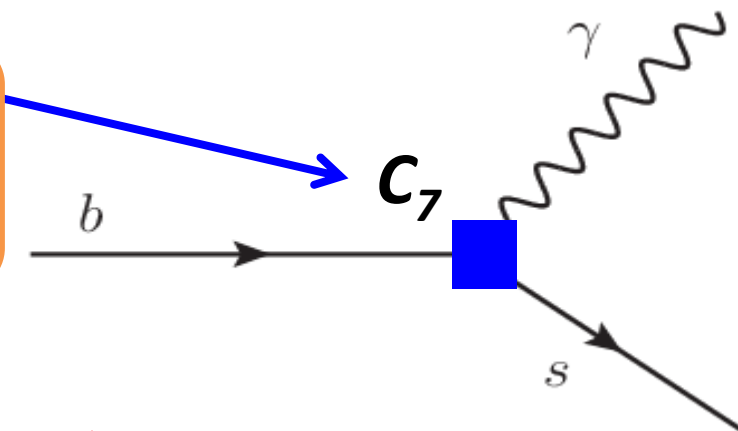
Operator Product Expansion

- 有効ハミルトニアンをWilson係数(C_i)と実効オペレータ(\mathcal{O}_i)を使って書き表す。
 - 量子効果を1つのvertexに押し込め、Wilson係数で表現

$$\mathcal{H}_{\text{eff}} = -\frac{4G_F}{\sqrt{2}} \sum_i \lambda_{\text{CKM}} C_i(\mu, M) \mathcal{O}_i(\mu)$$

電磁ペンギン崩壊オペレータの係数

$$\mathcal{O}_7 = \frac{e}{16\pi^2} m_b (\bar{s}_L \sigma^{\mu\nu} b_R) F_{\mu\nu}$$

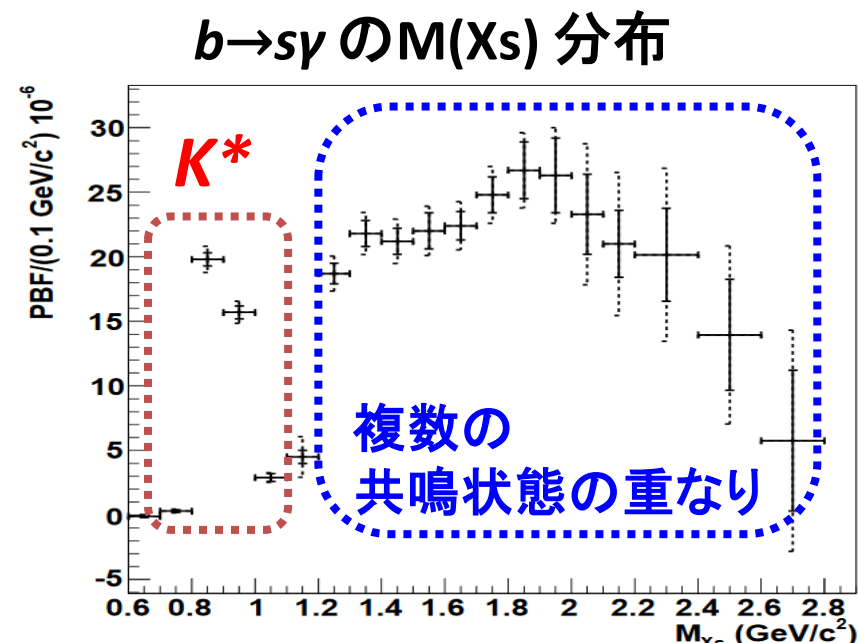


- C_7 は標準模型では実数
- 新物理の効果がある場合、 C_7 にズレが見られる
- 理論計算の精度
 - Inclusive($b \rightarrow s\gamma$ 全て): ハドロン化の影響小
⇒ 崩壊分岐比、比の観測量が新物理に感度
 - Exclusive($B \rightarrow K^*\gamma, B \rightarrow K_1\gamma$ など): ハドロン化の不定性大
⇒ 比を計算して不定性をキャンセルできるので新物理に感度

信号事象: $B \rightarrow K^*(892)\gamma$ 崩壊

● 特徴

- $b \rightarrow s\gamma$ の崩壊の中で崩壊分岐比が大きい(全体の10%)
- 他の共鳴状態からの分離が可能
 - 他の共鳴状態から離れている
 - 狹い崩壊幅
 - 2体崩壊
- ハドロン化の理論計算精度が悪い
 - 崩壊分岐比の予言精度が悪い
 - 崩壊分岐比の比を計算することで不定性を打ち消す
 - CP 非対称性
 - アイソスピン非対称性



本研究での観測量

- 崩壊分岐比(\mathcal{B}) $\mathcal{B}(B \rightarrow K^* \gamma) = \frac{\Gamma(B \rightarrow K^* \gamma)}{\Gamma_{\text{total}}}$
- CP 非対称性(A_{CP})
 - Strong-weak phase に寄与する新物理(NP)

導出

SMの $B \rightarrow K^* \gamma$ は CP phase は小さく、崩壊モードの干渉もない

$$\mathcal{A}(B \rightarrow K^* \gamma) = A_{\text{SM}} e^{i\delta_{\text{SM}}} + A_{\text{NP}} e^{i(\theta_{\text{NP}}^{\text{CP}} + \delta_{\text{NP}})}$$

$$A_{CP} \propto |\mathcal{A}(B \rightarrow K^* \gamma)|^2 - |\mathcal{A}(\bar{B} \rightarrow \bar{K}^* \gamma)|^2 = -4|A_{\text{SM}} A_{\text{NP}}| \sin \theta_{\text{NP}}^{\text{CP}} \sin(\delta_{\text{SM}} - \delta_{\text{NP}})$$

$$A_{CP} = \frac{\Gamma(\bar{B} \rightarrow \bar{K}^* \gamma) - \Gamma(B \rightarrow K^* \gamma)}{\Gamma(\bar{B} \rightarrow \bar{K}^* \gamma) + \Gamma(B \rightarrow K^* \gamma)} = \frac{1}{1 - 2w} \frac{\mathcal{B}(\bar{B} \rightarrow \bar{K}^* \gamma) - \mathcal{B}(B \rightarrow K^* \gamma)}{\mathcal{B}(\bar{B} \rightarrow \bar{K}^* \gamma) + \mathcal{B}(B \rightarrow K^* \gamma)}$$

w : 誤識別率

本研究での観測量

● アイソスピン 非対称性(Δ_{0-})

– Spectator particle, 対消滅事象

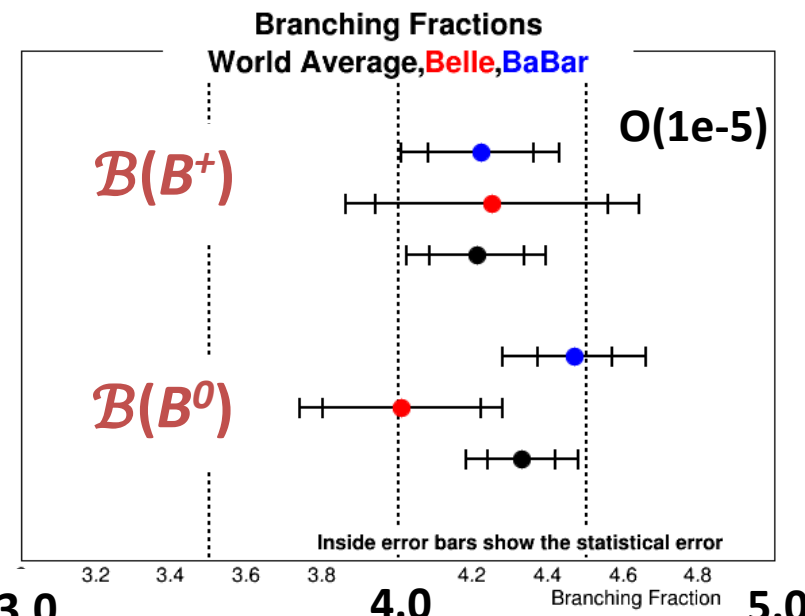
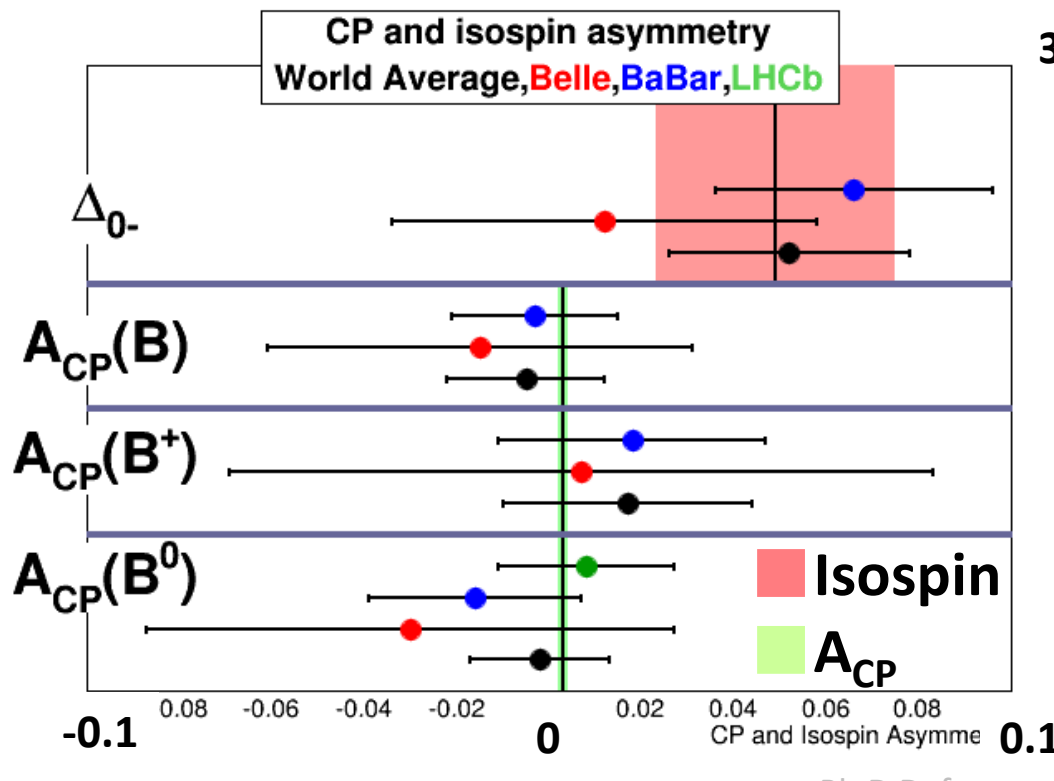
$$\Delta_{0-} = \frac{\Gamma(\bar{B}^0 \rightarrow \bar{K}^{*0} \gamma) - \Gamma(B^- \rightarrow K^{*-} \gamma)}{\Gamma(\bar{B}^0 \rightarrow \bar{K}^{*0} \gamma) + \Gamma(B^- \rightarrow K^{*-} \gamma)} = \frac{(\tau_{B^+}/\tau_{B^0}) \mathcal{B}(\bar{B}^0 \rightarrow \bar{K}^{*0} \gamma) - \mathcal{B}(B^- \rightarrow K^{*-} \gamma)}{(\tau_{B^+}/\tau_{B^0}) \mathcal{B}(\bar{B}^0 \rightarrow \bar{K}^{*0} \gamma) + \mathcal{B}(B^- \rightarrow K^{*-} \gamma)}$$

● 中性、荷電B中間子のCP非対称性の差(ΔA_{CP})

$$\Delta A_{CP} = A_{CP}^{B^-} - A_{CP}^{\bar{B}^0}$$

観測量(これまでの測定)

- 世界平均はほぼ BaBar の精度で決定
 - Belle 85×10^6 BB
 - BaBar 383×10^6 BB
- Belle の全データ (772×10^6 BB) を使って精度向上を目指す



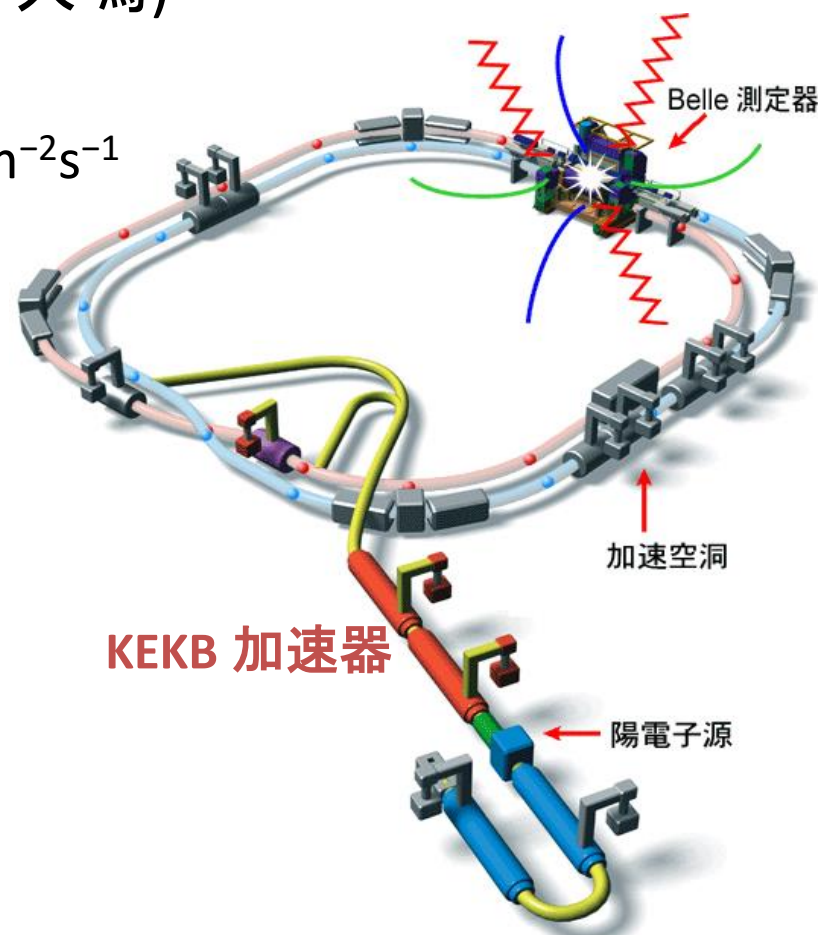
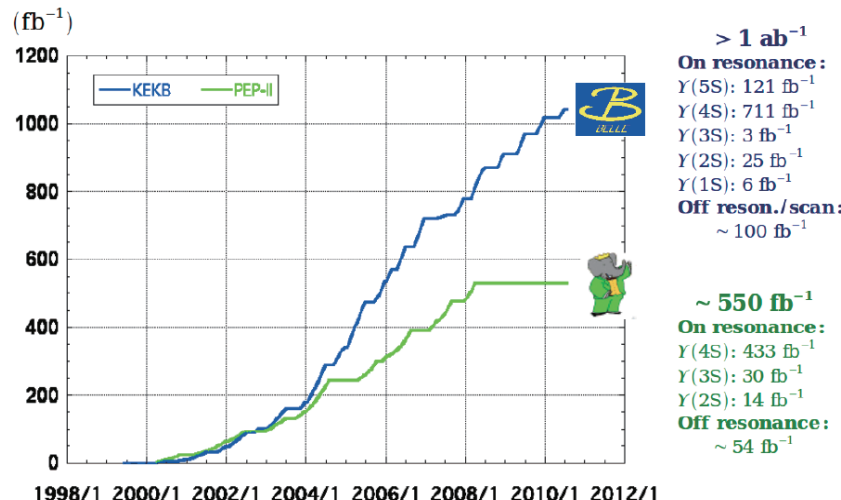
- 崩壊分岐比は系統誤差が支配的
- 比の測定は統計誤差が支配的
- B^0 崩壊のCP非対称性はLHCbでも測定

Belle実験(加速器)

○KEKB加速器(1999–2010)

- 茨城県つくば市にある周長3kmの円形加速器
- 電子(8GeV)、陽電子(3.5GeV)の衝突
- 主要運転は **10.58 GeV** ($\Upsilon(4S)$ 共鳴)
- 世界最高輝度の運転
 - 瞬間ルミノシティ: $2.11 \times 10^{34} \text{ cm}^{-2}\text{s}^{-1}$
 - 積分ルミノシティ: 1040 fb^{-1}

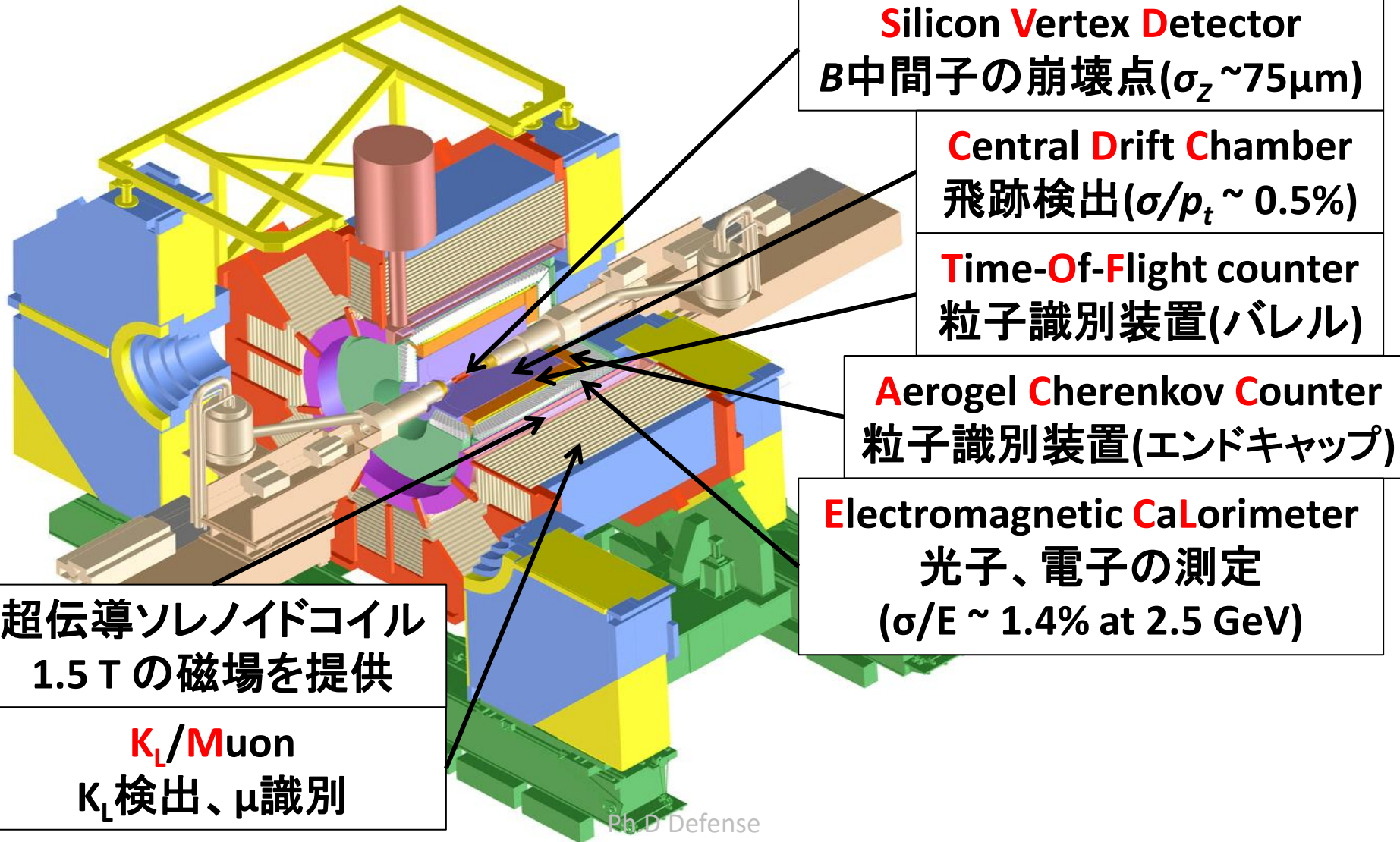
Integrated luminosity of B factories



KEKB 加速器

Belle実験(測定器)

○高い粒子識別能力と運動量測定精度を持つ複合型検出器



解析

● ブラインド解析手法

- 恣意的な解析にならないように、高統計のMonte Carlo(MC)シミュレーションでカット値を決定してから実データ解析
- 信号事象の検出効率と背景事象の量と分布を見積もる

● 解析手順

1. MC シミュレーションサンプルを生成
2. B 中間子の再構成
 - 構成粒子を個別に再構成して組み合わせる
3. 背景事象抑制
 - 信号有意度を高くするため背景事象を除去する
4. 信号抽出
 - M_{bc} 分布をフィットして信号数を得る
5. 実データを使った解析

MCサンプル生成

● 生成する信号事象

- $\Upsilon(4S) \rightarrow BB, B \rightarrow K^*(892)\gamma$
- 世界平均の崩壊分岐比
- Belle 実験200回分を生成

崩壊分岐比(10^{-5})	
$B^0 \rightarrow K^{*0}\gamma$	4.33
$B^+ \rightarrow K^{*+}\gamma$	4.21

● 想定する背景事象

- Continuum background ($e^+e^- \rightarrow qq$)
- Generic B decay ($b \rightarrow cW$)
- Rare B decay ($b \rightarrow u/s/d$ 遷移)
 - $B \rightarrow K^*\eta, K^*\pi, K\pi$ 等
- $X_s\gamma$ decay ($b \rightarrow s\gamma : M_{X_s} > 1.15 \text{ GeV}/c^2$)
 - $K^*\gamma$ と $K\pi\pi\gamma$ を除いた $b \rightarrow s\gamma$ 崩壊
- $B \rightarrow K\pi\pi\gamma$ decay
 - 信号領域にピークを作る背景事象を詳細に見積もる

$B \rightarrow K\pi\pi\gamma$ 崩壊(10^{-6})	
$B \rightarrow K_1(1270)\gamma$	14.5
$B \rightarrow K_1(1400)\gamma$	4.1
$B \rightarrow K^*(1410)\gamma$	11.0
$B \rightarrow K^*_2(1430)\gamma$	1.2
$B \rightarrow K^*(1680)\gamma$	15.9

○はPeaking background

再構成

- 4つの崩壊モード
 - $K_s\pi^0\gamma, K^+\pi^-\gamma, K_s\pi^+\gamma, K^+\pi^0\gamma$
- 高エネルギー光子の選択
- 粒子の検出
- B 中間子の再構成

高エネルギー光子の再構成

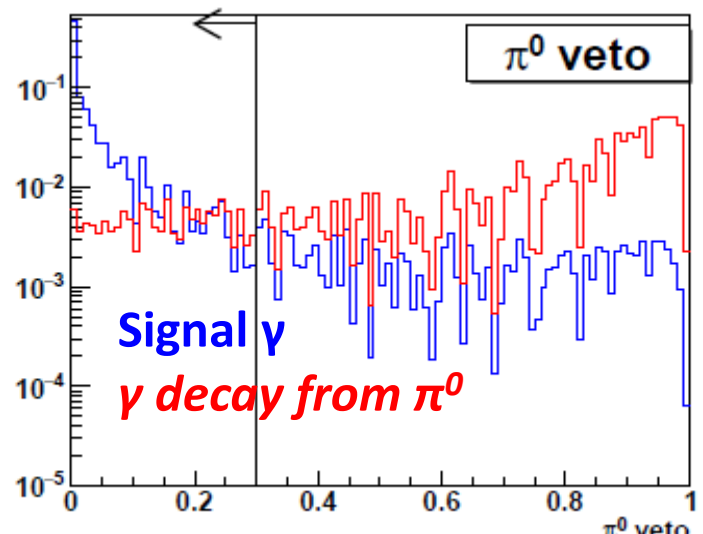
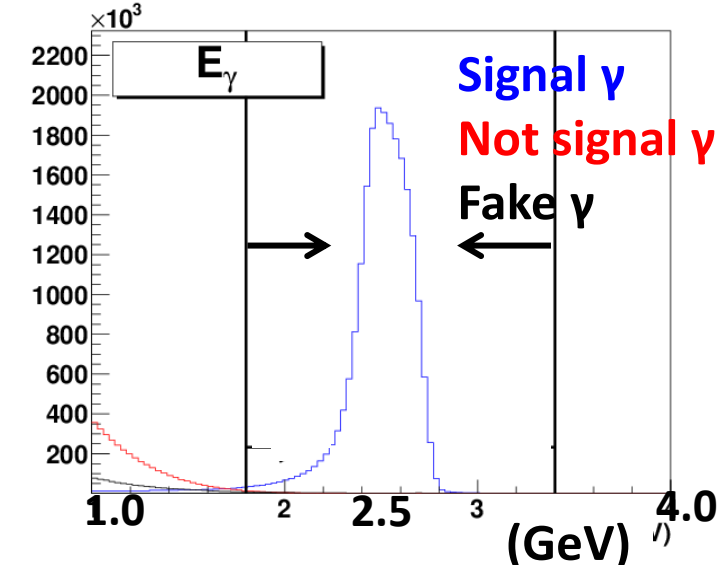
$b \rightarrow s\gamma$ 崩壊で最も特徴的な信号
高エネルギーで孤立したECLクラスターを選ぶ

● クラスターへの要求

- $1.8 < E_\gamma < 3.4$ GeV (重心系)
- クラスターの広がり
- ビーム軸に対する光子の角度
(バレルのみ)

● π^0/η veto

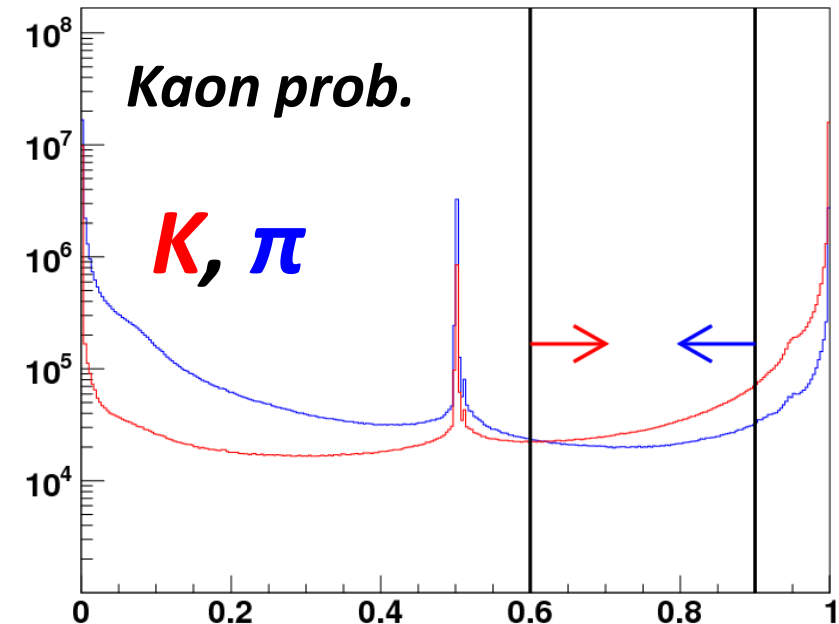
- $\pi^0(\eta)$ から崩壊した高い運動量をもつ光子の除去
- イベント中の光子を組み合わせ、尤度を計算
 - $m_{\gamma\gamma}$: 2光子の不变質量
 - $\pi^0(\eta) \rightarrow \gamma_{\text{high}}\gamma_{\text{low}}$, 崩壊の γ_{low} の運動量



粒子の再構成

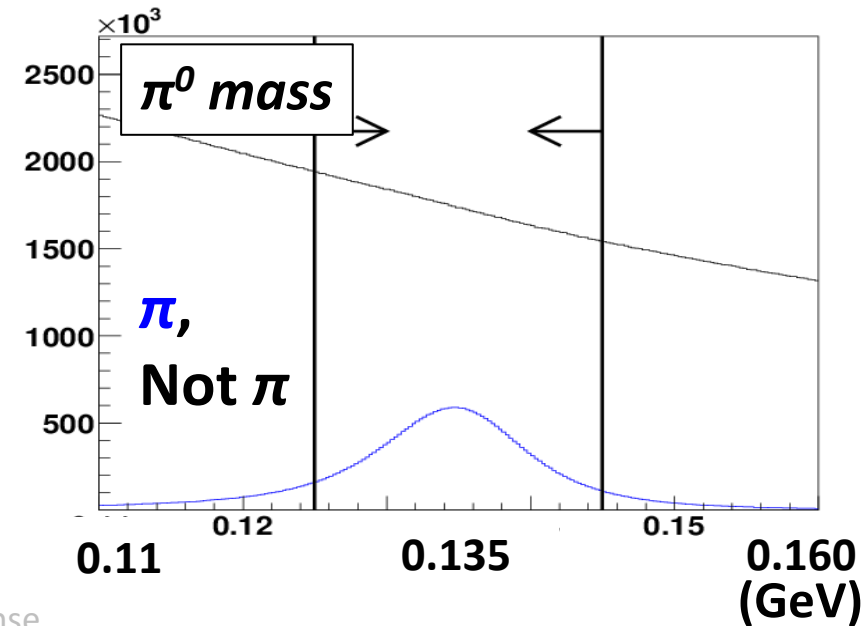
● 荷電粒子(K^\pm, π^\pm)の選択

- インパクトパラメータ
- $p > 0.1 \text{ GeV}/c$
- K/π 粒子識別
 - Likelihood による識別 : ACC, TOF, CDC のヒット情報
 - 誤識別率(π) 8.5%



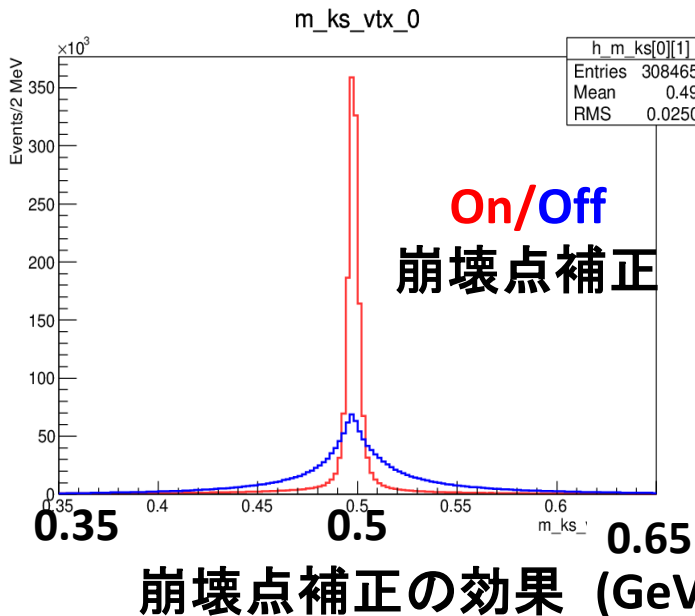
● $\pi^0 (\rightarrow \gamma\gamma)$ の再構成

- $|M_{\pi^0}^{\text{PDG}} - M(\gamma\gamma)| < 10 \text{ MeV}/c^2$
- $\cos\theta_{\gamma\gamma} > 0.5$
- $E_\gamma > 50 \text{ MeV}$
- $p > 0.5 \text{ GeV}/c$



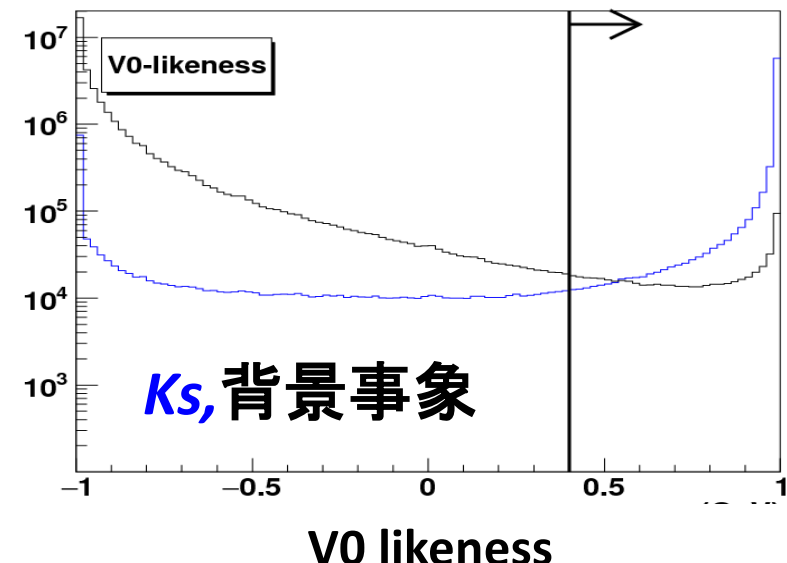
K_s の再構成

- 再構成モード $K_s \rightarrow \pi^+\pi^-$
- 崩壊点の再計算
 - 荷電トラック2本の最近接点を計算し、 K_s の崩壊点として4元運動量を再計算
- K_s の質量
 - $|M_{K_s} - M_{\pi\pi}| < 10 \text{ MeV}/c^2$



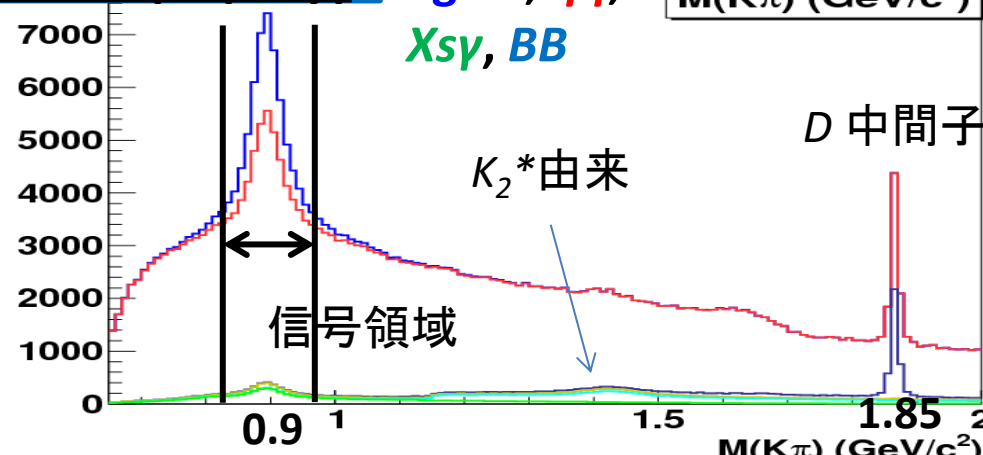
背景事象の除去

- ニューラルネットワークを用いた多変数解析
 - V0-particle likeness (13変数)
 - 2本の荷電粒子に崩壊する粒子
 - 運動量、角度分布、飛行距離等
 - Λ likeness (7変数)
 - proton を仮定したトラックと π を仮定したトラックの不变質量、 π の運動量等



B中間子の再構成

K π Mass ($M(K\pi)$)



Signal, qq ,

Xsy, BB

Beam Constrained Mass

$$M_{bc} = \sqrt{E_{beam}^{c.m.s 2} - |\vec{p}_B^{c.m.s}|^2}$$

E_{beam} : ビームエネルギー

p_B : 再構成したB中間子の運動量

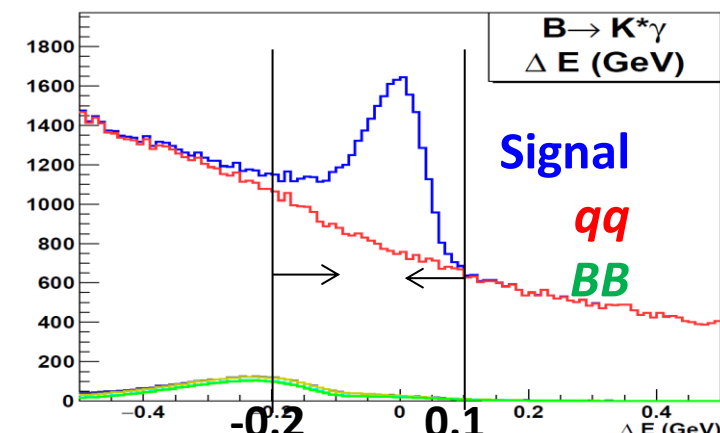
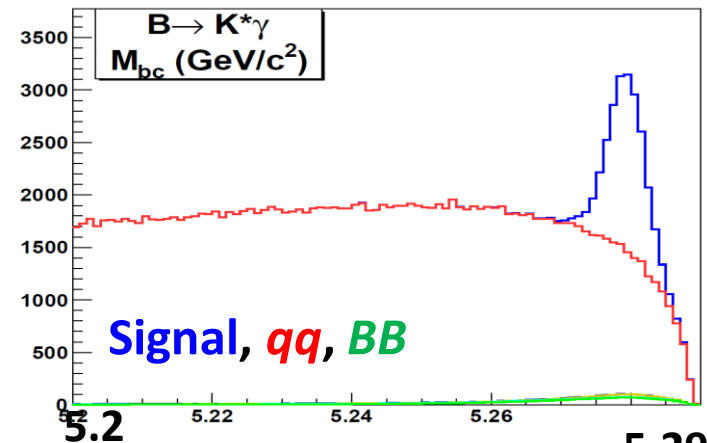
B中間子の質量(5.279 GeV)にピーク

Energy Difference

$$\Delta E = E_{beam}^{c.m.s} - E_B \text{ (0にピーク)}$$

信号領域

$$|M(K\pi) - M(K^*)| < 75 \text{ MeV}/c^2$$



背景事象の抑制

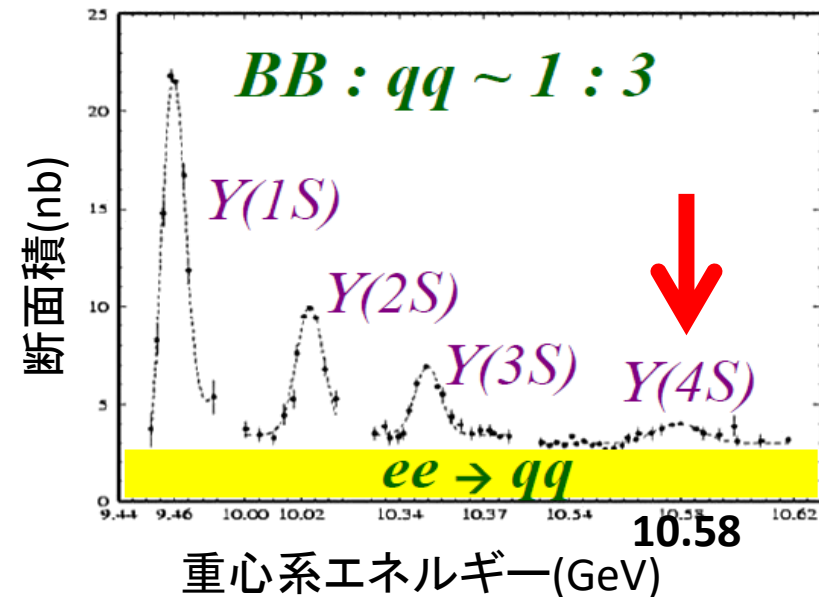
- qq 背景事象
- B 候補の選択
- BB 背景事象

背景事象の除去と扱い方針

● qq 背景事象

- B 生成事象の約3倍の断面積
- 信号数の2倍程度
- イベント形状によって選別可能
- 有意度を最大化するように選別

$$\text{有意度} = \frac{N_{\text{sig.}}}{\sqrt{N_{\text{sig.}} + N_{\text{bkg.}}}}$$



● B 由来の崩壊事象

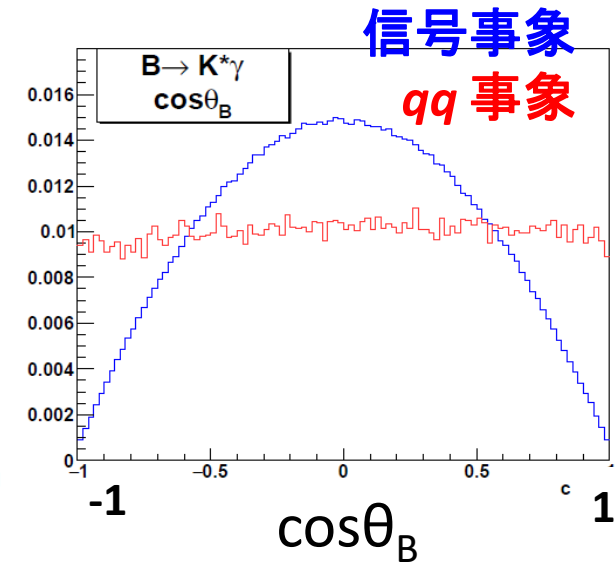
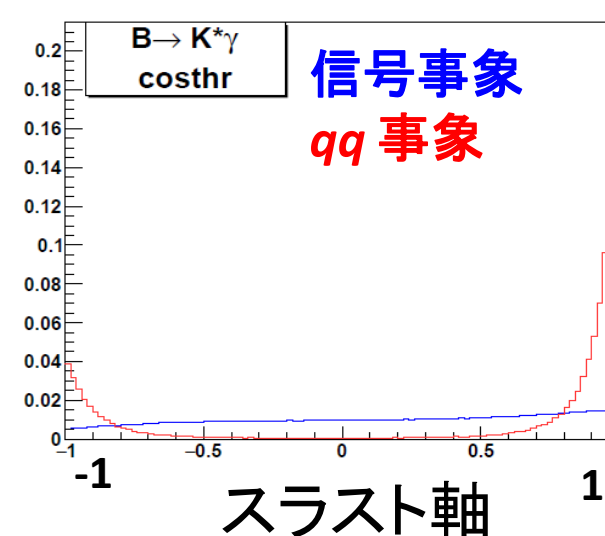
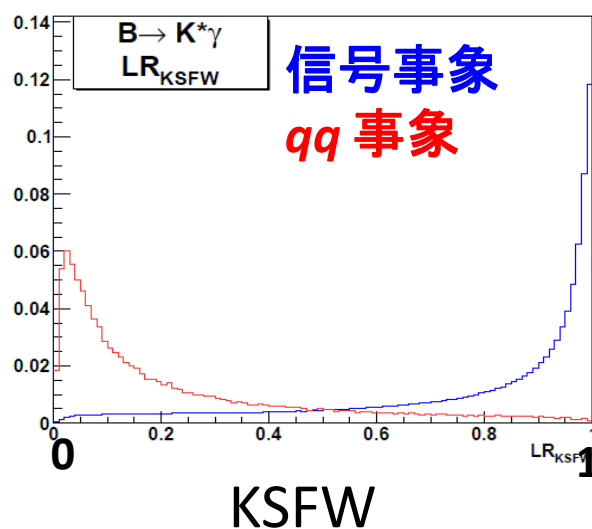
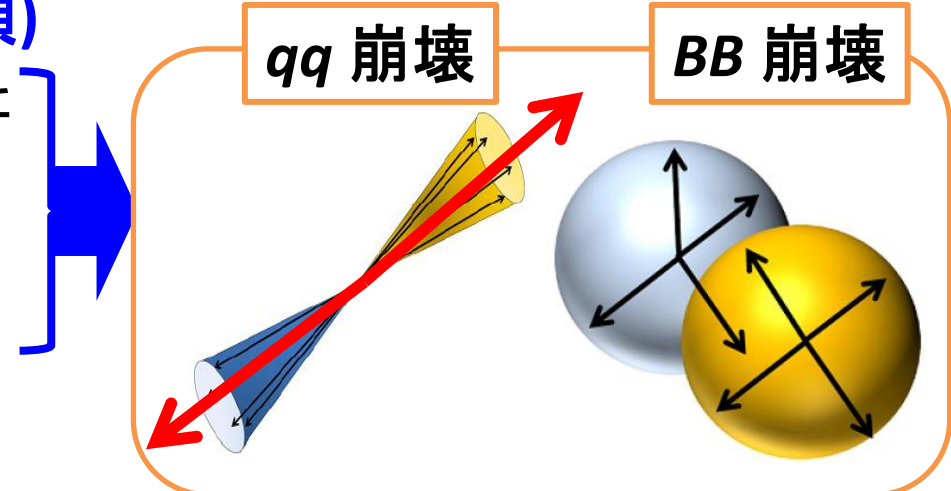
- 信号数の7%程度の混入
- M_{bc} にピークを作る

$B \rightarrow K^+ \pi^- \gamma$	信号	qq	B 由来全て	検出効率	有意度
生成時	21599.9	2.3×10^9	7.6×10^8	100%	-
再構成	7457.2	33597.2	822.5	34.61%	36.44
π^0/η veto	6852.4	13207.0	697.3	31.8%	47.56

多変数解析による qq 背景事象抑制

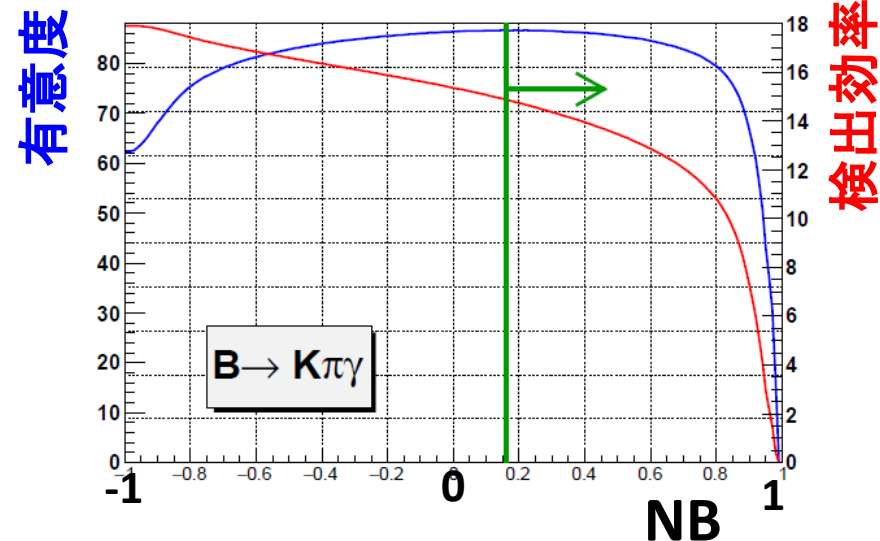
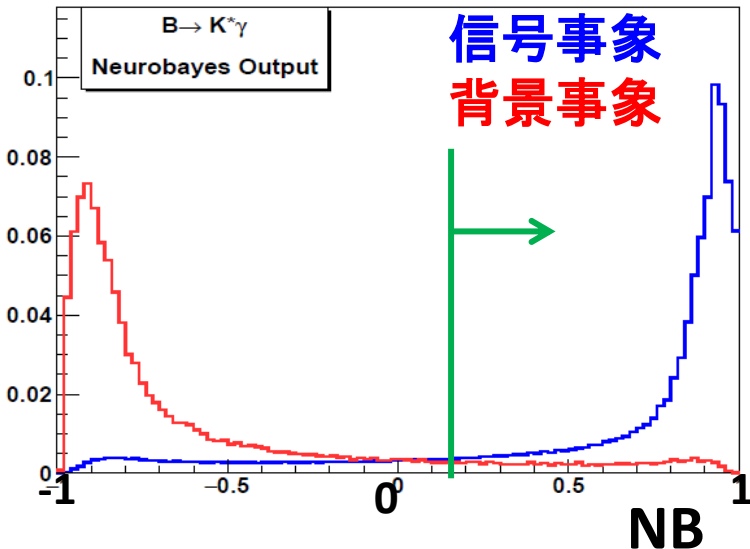
選別に有効なパラメータ(9種類)

- ルジャンドル多項式を用いたイベント形状 (KSFW)
- $\cos\theta_{\text{thrust}}$ (スラスト軸)
- Sphericity (5種類)
- $\cos\theta_B$ (重心系での B 崩壊角)
- フレーバータグパラメータ, qr



qq背景事象抑制の結果

- ニューラルネットワーク(NB)を使って多変数解析
- 信号有意度が最大になるように、出力(NB)を決定



Decay	$K_s\pi^0\gamma$	$K^+\pi^-\gamma$	$K_s\pi^+\gamma$	$K^+\pi^0\gamma$
qq bkg reject. (%)	89.1%	89.3%	88.0%	89.2%
signal keep (%)	84.6%	83.4%	83.1%	84.0%

崩壊過程ごとの qq 事象抑制結果

83% の信号事象を残して、89% の背景事象抑制に成功
(先行研究では Likelihood により 73% の信号を残し 90% の背景事象の抑制)

B崩壊の背景事象

M_{bc} にピークを持つ背景事象の把握

- RareB 由来(信号の2.3%)

- 高エネルギー γ と π^0/η の由来 γ の事象の誤識別
 - 主要素(70~80%程度): $B \rightarrow K^* \eta$, $B \rightarrow K^* \pi^0$

- $X_s \gamma$ 由来 (信号の5%)

- π 1つ分の検出ミス
 - 約80%が $B \rightarrow K \pi \pi \gamma$ 由来

- 複数信号候補があるイベントに対して
single candidate の要求
 - 無作為に抽出

信号事象と背景事象のB候補数

$B^0 \rightarrow K^+ \pi^- \gamma$ のB候補数の表

	信号	qq	B由来全て	検出効率	有意度
生成時	21599.9	2.3×10^9	7.6×10^8	100%	-
再構成	7457.2	33597.2	822.5	34.61%	36.44
π^0/η veto	6852.4	13207.0	697.3	31.80%	47.56
qq 抑制	5712.9	1412.0	534.2	26.51%	65.28
Single cand.	5340.2	1292.2	464	24.78%	63.39

信号事象数が75%を占める信号事象が支配的な崩壊過程

信号抽出

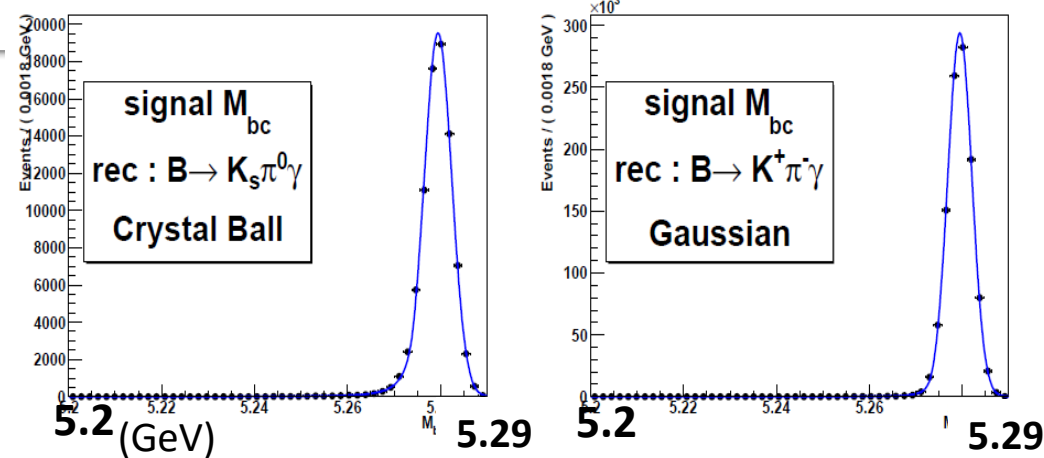
M_{bc} 分布をフィットして信号抽出

- Unbinned Maximum Likelihood

PDFの決定

● 信号事象 →

- π^0 を含む崩壊 : Crystal Ball
- π^0 を含まない崩壊 : Gaussian



● qq 背景事象 : ARGUS関数 →

● B 由来の背景事象 (信号に対するイベント数)

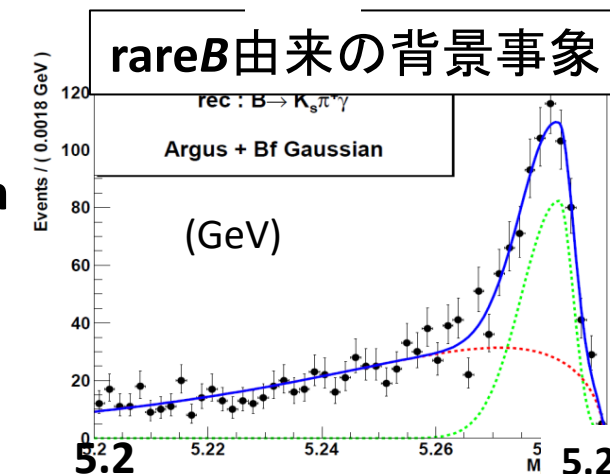
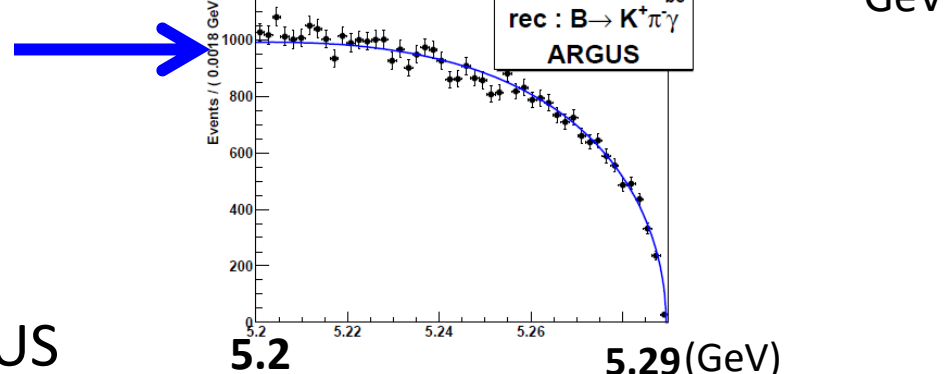
Generic B decay (0.1%) : ARGUS

Rare B decay (2.3%)

$X_s \gamma$ decay (4.9%)

Cross-feeds (0.9%)

Combinatorial (0.4%)



Likelihood の定義

● 7つの M_{bc} 分布を同時にフィット

- 崩壊分岐比(BF)とCP非対称性(A_{CP})を変数としてLikelihoodを定義
- 観測量を同時に決定

利点

Numerical calculation に比べ系統誤差の計算を簡単にし、極小化ができる。

6種類のパラメータを決定

$$\begin{aligned} & \text{BF}(B^0 \rightarrow K^{*0}\gamma, B^+ \rightarrow K^{*+}\gamma) \\ & A_{CP} (B^0 \rightarrow K^{*0}\gamma, B^+ \rightarrow K^{*+}\gamma) \\ & \Delta_0, \Delta A_{CP} \end{aligned}$$

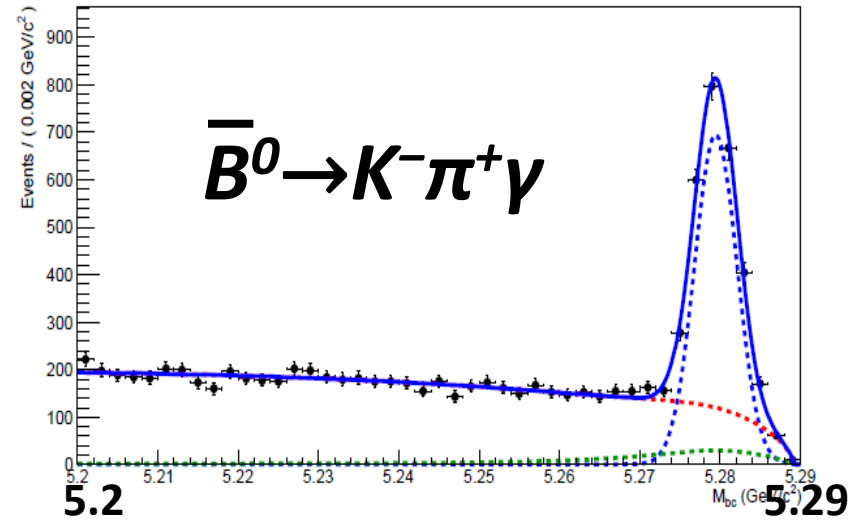
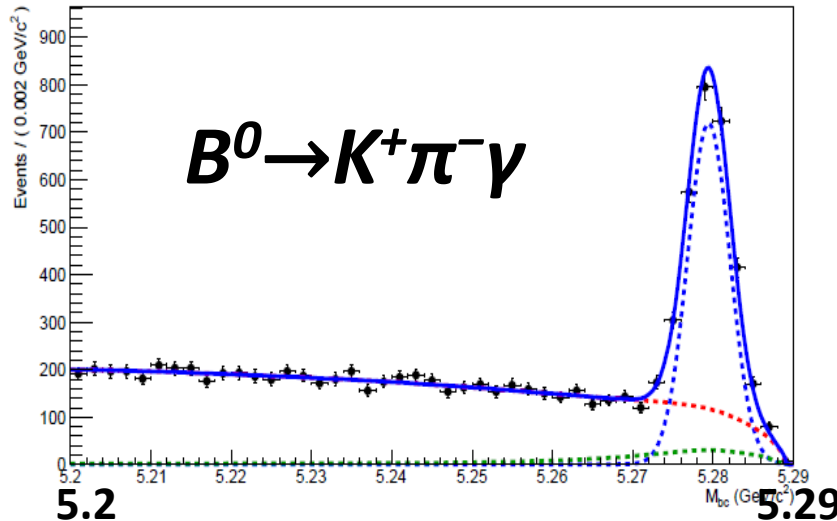
$$\begin{aligned} -\ln \mathcal{L} = & - \sum_i \ln \mathcal{L}_i^{K_s \pi^0 \gamma}(BF^N) && \text{添え字の } N, C \text{ は } B^0, B^+ \text{ の崩壊を表す} \\ & - \sum_i \ln \mathcal{L}_i^{K^+ \pi^- \gamma}(BF^N, A_{CP}^N) - \sum_i \ln \mathcal{L}_i^{K^- \pi^+ \gamma}(BF^N, A_{CP}^N) \\ & - \sum_i \ln \mathcal{L}_i^{K_s \pi^+ \gamma}(BF^C, A_{CP}^C) - \sum_i \ln \mathcal{L}_i^{K_s \pi^- \gamma}(BF^C, A_{CP}^C) \\ & - \sum_i \ln \mathcal{L}_i^{K^+ \pi^0 \gamma}(BF^C, A_{CP}^C) - \sum_i \ln \mathcal{L}_i^{K^- \pi^0 \gamma}(BF^C, A_{CP}^C) \end{aligned}$$

実データの解析

フィット結果

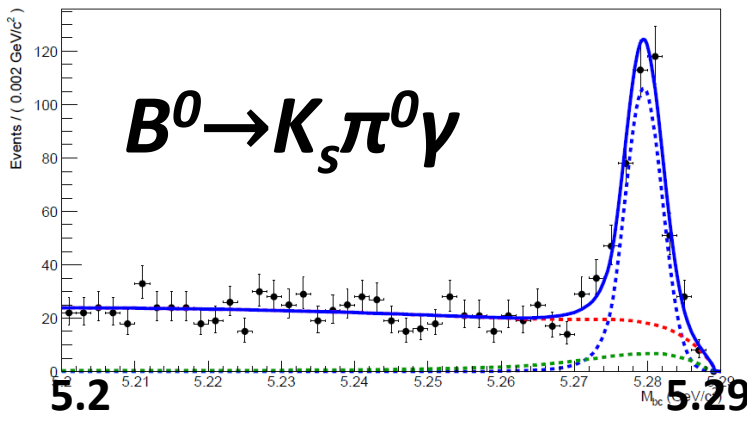
$B^0 \rightarrow K^+ \pi^- \gamma, \bar{B}^0 \rightarrow K^- \pi^+ \gamma$ の M_{bc} フィット

信号事象, qq 事象
B由来の背景事象

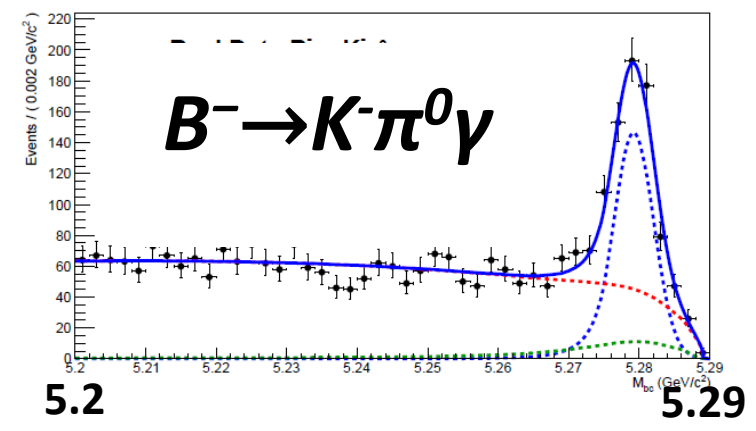
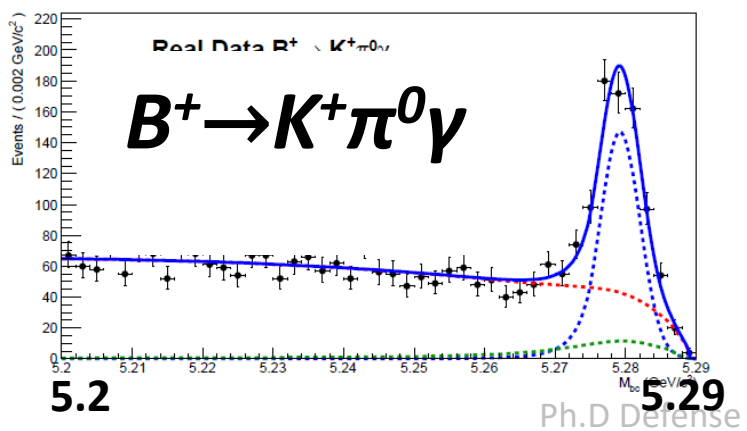
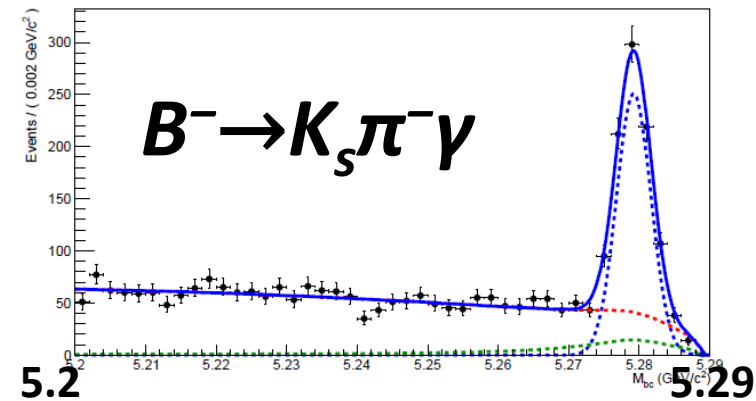
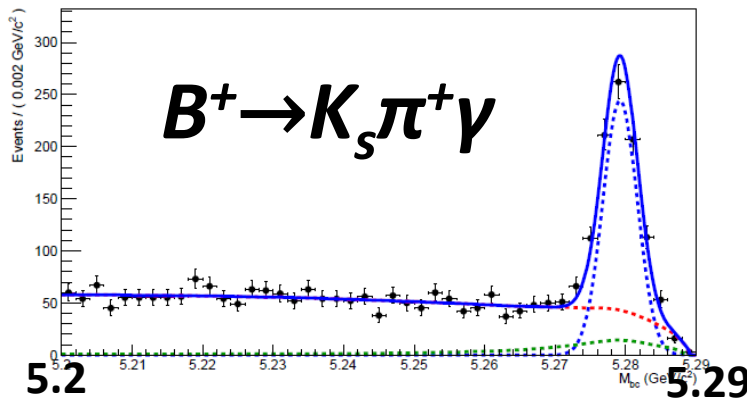


崩壊過程	$N(\bar{B})$	$N(B)$	合計
$B^0 \rightarrow K_s \pi^0 \gamma$			$352.5 \pm 23.2 \pm 11.5$
$B^0 \rightarrow K^+ \pi^- \gamma$	2385.9	2294.9	$4681.3 \pm 81.9 \pm 74.2$
$B^+ \rightarrow K_s \pi^- \gamma$	724.5	757.1	$1481.6 \pm 45.9 \pm 24.6$
$B^+ \rightarrow K^+ \pi^0 \gamma$	580.1	565.6	$1145.7 \pm 45.4 \pm 37.9$

フィット結果



信号事象, qq 事象,
B由来の背景事象



検出効率の補正と 系統誤差の見積もり

実データと MC の違いを理解するための検証研究

検出効率比” R_{eff} ”を用いて評価。
 R_{eff} の1からのずれを補正、誤差を系統誤差とする。

$$R_{\text{eff}} = \frac{\text{efficiency}^{\text{data}}}{\text{efficiency}^{\text{MC}}}$$

系統誤差表

MC の統計	0.14 - 0.36 %
B中間子の数	1.370 %
高エネルギー光子	2.000 %
トラック	0.350/track %
K/ π ID	1.650 %
○ Ks	0.920%
π^0	1.270 %
○ M($K\pi$)	0.110 %
○ qq 事象抑制の補正	0.560 %
○ 電荷依存の検出効率の補正	0.1 – 0.2 %
$f+-/f00$	1.200 %
○ Fitter の不定性	0.6 - 2.4 %
○ Fit パラメータの不定性	0 – 2 %

○ 自分で求めたもの

K_s の再構成

- K_s の質量分布を $\cos\theta$ (lab), p_t , 飛行距離で分割
 - トラッキング効率が保証されている、飛行距離の第1 bin (IPに最も近い領域) を使って規格化

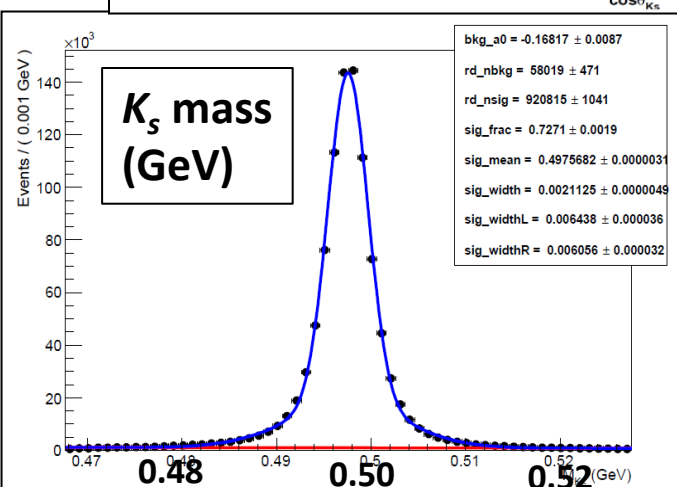
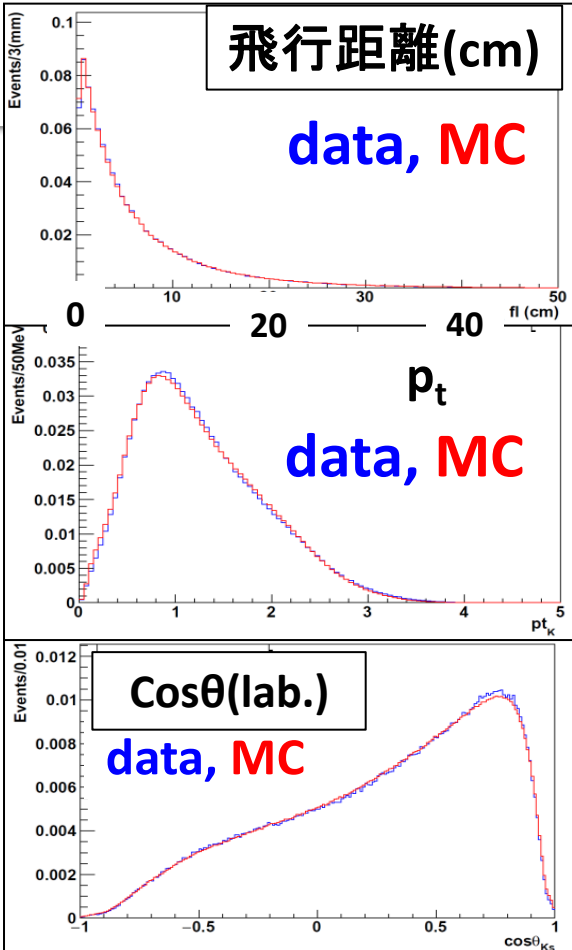
Efficiency の定義

$$\epsilon_{ijk} = \frac{N_{ijk}}{N_{1jk}} \quad R_{ijk}^{\text{eff}} = \frac{\epsilon_{ijk}^{\text{data}}}{\epsilon_{ijk}^{\text{MC}}}$$

$i : fl, j : \cos\theta_{K_s}, k : p_t$

- $D^{*+} \rightarrow D^0\pi^+$, $D^0 \rightarrow K_s\pi^+\pi^-$ を再構成
 - D^{*+} と D^0 の質量差を要求し高純度の K_s を抽出
 - 信号抽出
 - 信号: Double Gaussian,
 - 背景事象: 1st order Chebyshev

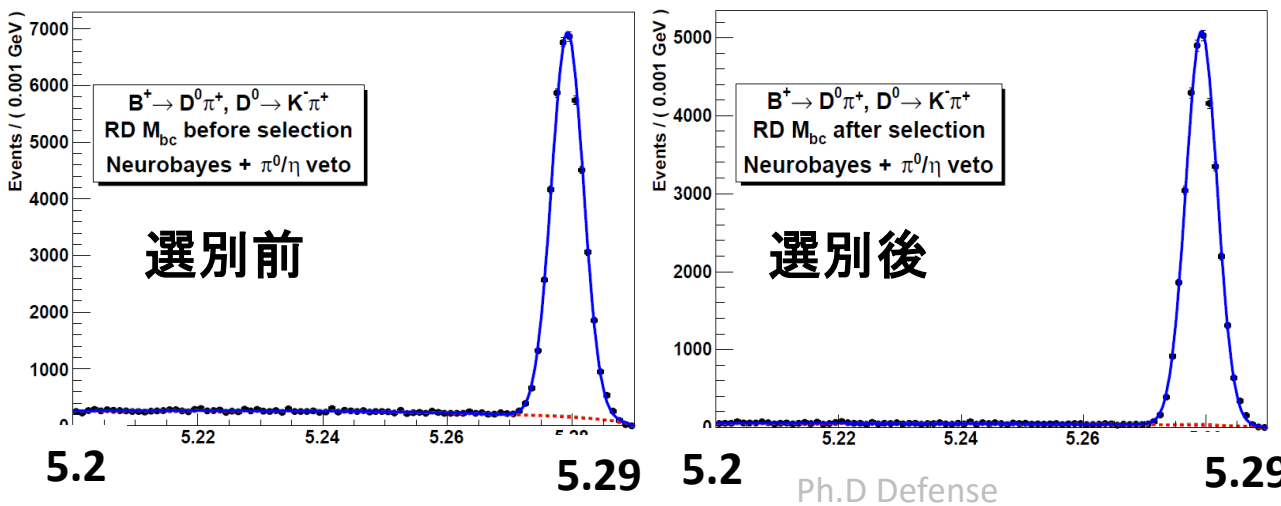
結果: $R_{\text{eff}} = (100.08 \pm 0.92)\%$



qq事象抑制と π^0/η veto

- $B^+ \rightarrow D^0\pi^+_f, D^0 \rightarrow K^-\pi^+ / B^0 \rightarrow D^-\pi^+_f, D^- \rightarrow K^+\pi^-\pi^-$ を再構成
 - π^+_f を高エネルギー光子、 D 中間子を K^* と仮定
 - π^+_f の質量を0として $\mathcal{L}^{\pi^0}, \mathcal{L}^\eta$ を計算
 - $|M_D^{\text{rec.}} - M_D^{\text{PDG}}| < 10 \text{ MeV}, |\Delta E| < 20 \text{ MeV}$ を要求
- **qq事象選別と π^0/η veto** 前後の M_{bc} をフィットし、 R_{eff} を計算
 - $B \rightarrow D\pi$ event : Gaussian
 - qq 事象: ARGUS
 - B 由来の背景事象 : Gaussian (Fix)

$$R_{\text{eff}} = \frac{N_{\text{after}}^{\text{RD}} / N_{\text{before}}^{\text{RD}}}{N_{\text{after}}^{\text{MC}} / N_{\text{before}}^{\text{MC}}}$$



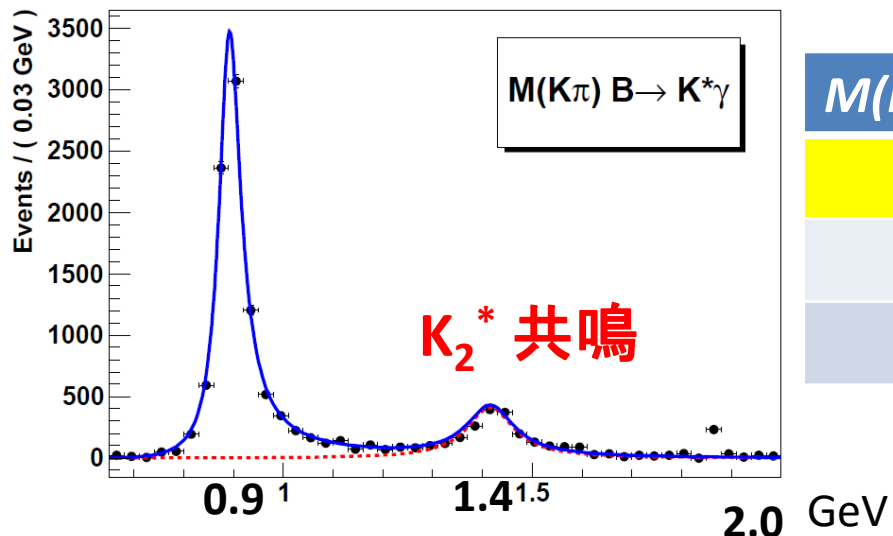
$R = 97.53 \pm 0.56 \%$
2.47% の補正と
0.56% の系統誤差

- $M(K\pi)$ $30 \text{ MeV}/c^2$ ごとに M_{bc} のフィットし、 $M(K\pi)$ 分布を作成
- P-wave Breit-Wigner 関数で $M(K\pi)$ 分布を $K^*(892)$ と $K_2^*(1430)$ に対してフィットし、 $B \rightarrow K\pi\gamma$ の寄与を見積もる

P-wave Breit-Wigner のAmplitude

$$\mathcal{M}_{\text{BW}}(M_{K\pi}, M_{K\gamma}) = F_B F_{K^*} \frac{M_{K\gamma}^2 - M_{\pi\gamma}^2 + (M_B^2 - M_{\gamma}^2)(M_{\pi}^2 - M_K^2)}{M_{K^*}^2 - M_{K\pi} - iM_{K^*}\Gamma_{K\pi}}$$

$\Gamma_{K\pi}$: 不変質量依存の崩壊幅



$M(K\pi)$ window	信号数	背景数
75 MeV	7692.7 ± 80.9	8.4 ± 0.2
80 MeV	7816.6 ± 82.2	9.1 ± 0.2
90 MeV	8026.5 ± 84.4	10.4 ± 0.3

0.11% を系統誤差とする

正負電荷の検出器の反応の違い

荷電粒子の検出効率は電荷によって異なる

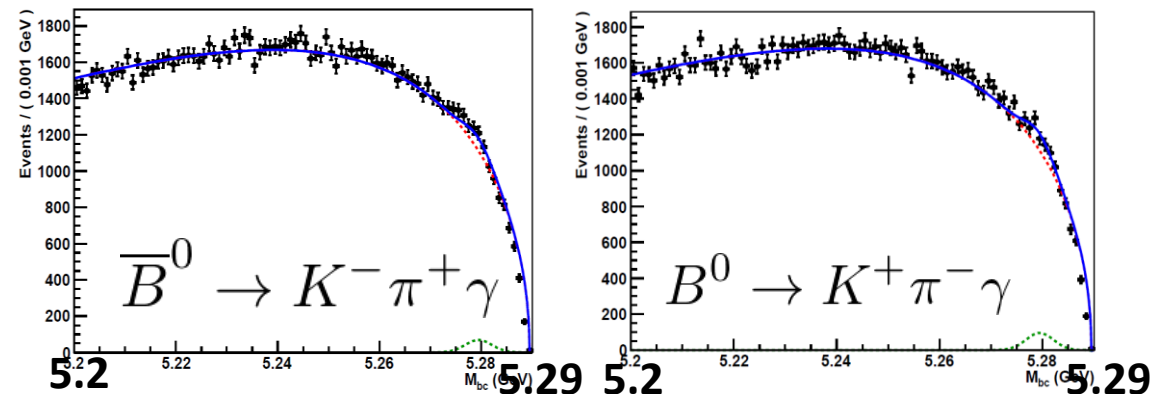
- qq 事象が支配的な領域の M_{bc} 分布をフィットして決定

- $-0.5 < \Delta E < 0.5 \text{ GeV}$, $|M(K\pi) - M(K^*)| < 75 \text{ MeV}/c^2$,
NB(ニューラルネット出力) < 0
- ピークを持つ要素は 0.5% 程度 → ガウシアン で決定
- Continuum 成分は ARGUS で決定

- 結果

Asymmetry の定義

$$\mathcal{A} = \frac{N(B) - N(\bar{B})}{N(B) + N(\bar{B})}$$



崩壊モード	Asymmetry (%)
$B^0 \rightarrow K^+ \pi^- \gamma / B^0 \rightarrow K^- \pi^+ \gamma$	$0.32 \pm 0.19 \pm 0.02$
$B^+ \rightarrow K_s \pi^+ \gamma / B^- \rightarrow K_s \pi^- \gamma$	$-0.34 \pm 0.37 \pm 0.02$
$B^+ \rightarrow K^+ \pi^0 \gamma / B^- \rightarrow K^- \pi^0 \gamma$	$0.87 \pm 0.33 \pm 0.03$

系統誤差のまとめ(崩壊分岐比)

(%)	BF($K_s\pi^0\gamma$)	BF($K+\pi-\gamma$)	BF($K_s\pi+\gamma$)	BF($K+\pi^0\gamma$)	BF($K^*+\gamma$)	BF($K^*0\gamma$)
MC stat.	0.358	0.133	0.239	0.285	0.185	0.127
Bの生成数	1.370	1.370	1.370	1.370	1.370	1.370
γ	2.000	2.000	2.000	2.000	2.000	2.000
tracking	0.700	0.700	1.050	0.350	0.347	0.645
K/π ID	-	1.650	0.800	0.840	0.820	1.568
K_s	0.920	-	0.920	-	0.747	0.075
π^0	1.270	-	-	1.270	0.424	0.089
$M(K\pi)$	0.110	0.110	0.110	0.110	0.110	0.110
qq sup.	0.560	0.560	0.560	0.560	0.560	0.560
Charge asym.	-	0.095	0.180	0.157	0.130	0.088
$f+-/f00$	1.200	1.200	1.200	1.200	1.200	1.200
Fit bias	2.353	0.193	0.663	1.309	0.182	0.165
Fit param.	1.902	0.999	0.877	2.774	0.846	0.954
Total	4.454	3.452	3.317	4.427	3.158	3.390

系統誤差のまとめ(A_{CP} , Δ_{0+} , ΔA_{CP})

(%)	A_{CP} ($K^*0\gamma$)	A_{CP} ($Ks\pi^+\gamma$)	A_{CP} ($K^+\pi^0\gamma$)	A_{CP} ($K^*+\gamma$)	A_{CP} ($K^*\gamma$)	Δ_{0-}	ΔA_{CP}
MC stat.	-	-	-	-	-	0.112	-
tracking	-	-	-	-	-	0.148	-
K/π ID	-	-	-	-	-	0.372	-
Ks	-	-	-	-	-	0.334	-
π^0	-	-	-	-	-	0.167	-
Charge asym.	0.095	0.184	0.159	0.131	0.076	0.078	0.161
<i>Life time</i>	-	-	-	-	-	0.185	-
$f+-/f00$	-	-	-	-	-	1.200	-
Fit bias	0.070	0.116	0.164	0.092	0.082	0.083	0.115
Fit param.	0.027	0.033	0.146	0.056	0.034	0.122	0.047
Total	0.121	0.220	0.271	0.170	0.117	1.347	0.204

測定結果の考察

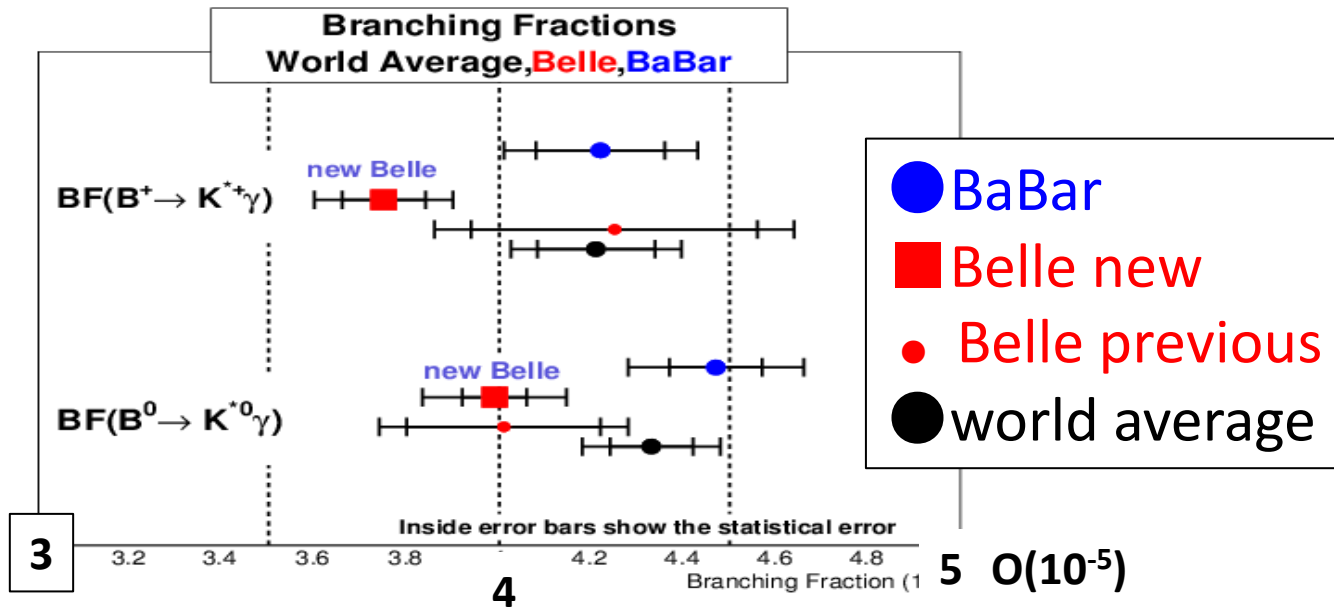
結果の考察(崩壊分岐比)

世界一の精度を更新

$$\mathcal{B}(B^0 \rightarrow K^{*0} \gamma) = (3.99 \pm 0.07 \pm 0.14) \times 10^{-5}$$

$$\mathcal{B}(B^+ \rightarrow K^{*+} \gamma) = (3.75 \pm 0.09 \pm 0.12) \times 10^{-5}$$

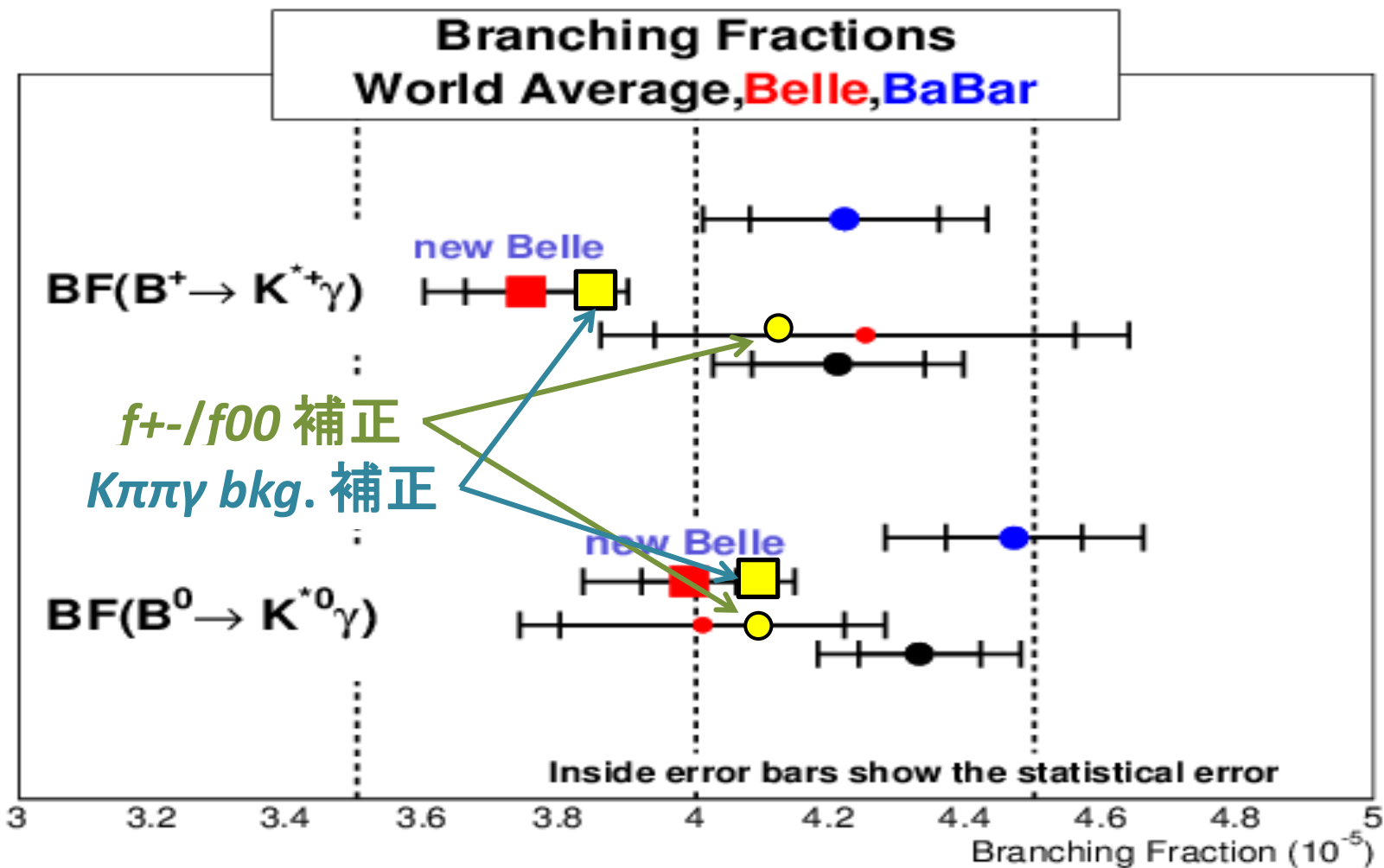
系統誤差が支配的



● 崩壊分岐比の検証

- $B \rightarrow X_s \gamma$ ($M_{X_S} < 1.15 \text{ GeV}$) の崩壊分岐比は $(3.99 \times 0.08(\text{stat.})) \times 10^{-5}$
- Belleの前結果の $f+-/f00$ を補正して比較
- $B \rightarrow K\pi\pi\gamma$ 背景事象の検討
 - 個別に生成した $B \rightarrow K\pi\pi\gamma$ sample を使わない時の結果

結果の考察(崩壊分岐比)



Belle の前回の結果 : 1σ 以内(B^0)、 1.5σ (B^+)内で一致
 世界平均 : 1.6σ (B^0)内で 1.9σ 以内(B^+)で一致

結果の考察(非対称性の測定)

全ての観測量で世界一の精度を更新

$$A_{CP}(B^0 \rightarrow K^{*0} \gamma) = -0.013 \pm 0.017 \pm 0.001,$$

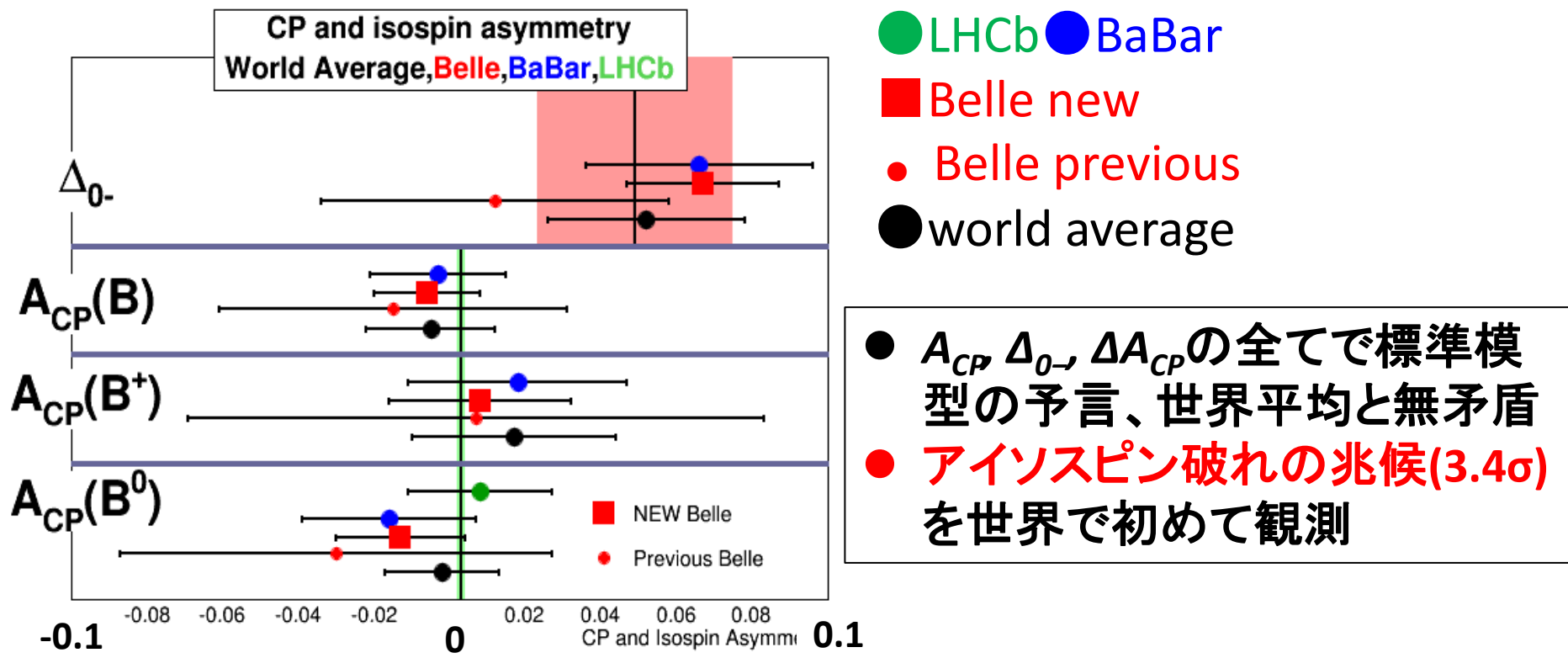
$$A_{CP}(B^+ \rightarrow K^{*+} \gamma) = 0.008 \pm 0.024 \pm 0.002,$$

$$A_{CP}(B \rightarrow K^* \gamma) = -0.006 \pm 0.014 \pm 0.001,$$

$$\Delta_{0-} = 0.067 \pm 0.015 \pm 0.013$$

$$\Delta A_{CP} = 0.021 \pm 0.029 \pm 0.002$$

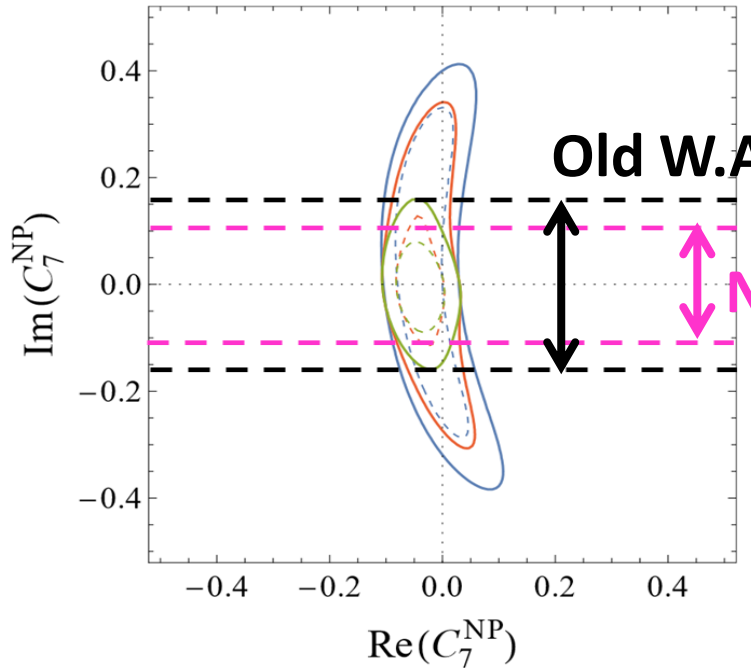
統計誤差が支配的



結果考察(CP 非対称性の測定)

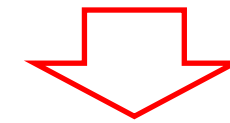
$B \rightarrow K^* \gamma$ の CP 非対称性は C_7 の虚数項に感度

$$A_{CP}(B^0 \rightarrow K^* \gamma) \sim [0.003 - 0.45 \text{Im}C_7(m_b)] \frac{\mathcal{B}(B^0 \rightarrow K^{*0} \gamma)_{\text{SM}}}{\mathcal{B}(B^0 \rightarrow K^{*0} \gamma)}$$



Altmannshofer, W. & Straub, D.M.
Eur. Phys. J. C (2015) 75: 382

$$|\text{Im}(C_7)| < 0.16(95\%\text{C.L})$$



$$|\text{Im}(C_7)| < 0.11(95\%\text{C.L})$$

新物理に強い制限をかけられる

実数項と虚数項の C_7 への制限

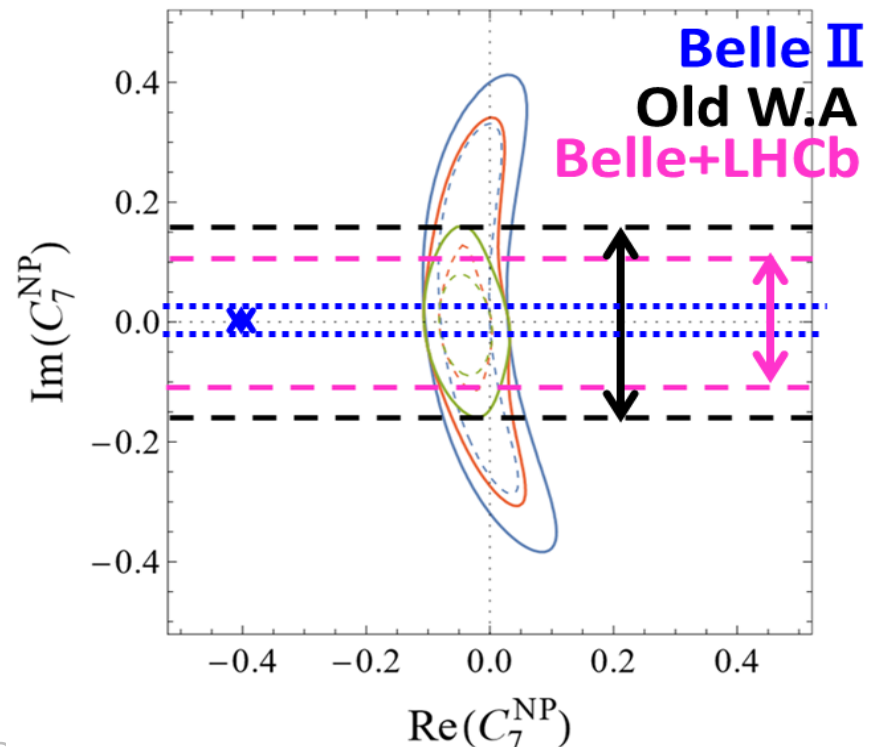
青 : $A_{CP}(B \rightarrow K^* \gamma)$ の結果含まない

赤 : $A_{CP}(B \rightarrow K^* \gamma)$ の結果含む。50%の理論の不定性

緑 : $A_{CP}(B \rightarrow K^* \gamma)$ の結果含む。25%の理論の不定性

Belle II における測定精度

- 2018年から運転開始予定
- 積分ルミノシティ: 50倍
- 崩壊分岐比(系統誤差改善が狙い)
 - Belleの測定で系統誤差が支配的
 - ΔE の要求を厳しくすることで、 B 由来の背景事象を減らす。
 - 粒子識別効率の改善
- CP 非対称性, ΔA_{CP}
(統計誤差改善が狙い)
 - $\sim 0.3\%$ 以下の測定精度
- アイソスピン非対称性
(統計、系統誤差両方改善)
 - $\sim 0.2\%$ の統計誤差
 - f_+/f_{00} の測定も向上見込み



まとめ

- Belle実験の全データ(772×10^6 BB対)を使って $B \rightarrow K^* \gamma$ の崩壊分岐比、アイソスピン、CP非対称性、CP非対称性の電荷の違いを測定

$$\begin{aligned}
 \mathcal{B}(B^0 \rightarrow K^{*0} \gamma) &= (3.99 \pm 0.07 \pm 0.14) \times 10^{-5}, \\
 \mathcal{B}(B^+ \rightarrow K^{*+} \gamma) &= (3.75 \pm 0.09 \pm 0.12) \times 10^{-5}, \\
 A_{CP}(B^0 \rightarrow K^{*0} \gamma) &= -0.013 \pm 0.017 \pm 0.001, \\
 A_{CP}(B^+ \rightarrow K^{*+} \gamma) &= 0.008 \pm 0.024 \pm 0.002, \\
 A_{CP}(B \rightarrow K^* \gamma) &= -0.006 \pm 0.014 \pm 0.001, \\
 \Delta_{0-} &= 0.067 \pm 0.015 \pm 0.013 \\
 \Delta A_{CP} &= 0.021 \pm 0.029 \pm 0.002
 \end{aligned}$$

- 全測定で標準模型の予言と無矛盾で、**世界最高精度**を達成
- 崩壊分岐比は世界平均と 2.0σ 以内で一致
- A_{CP} , Δ_{0-} , ΔA_{CP} は世界平均と 1.0σ 以内で一致
- **世界で初めて**アイソスピン破れの兆候を観測(3.4σ)
- **世界で初めて** $B \rightarrow K^* \gamma$ の ΔA_{CP} を測定